

УДК 533.692

## ПОСТРОЕНИЕ КРЫЛОВЫХ ПРОФИЛЕЙ, БЕЗОТРЫВНО ОБТЕКАЕМЫХ СЖИМАЕМЫМ ПОТОКОМ В ЗАДАННОМ ДИАПАЗОНЕ УГЛОВ АТАКИ

О. С. Дунаева, Н. Б. Ильинский

Научно-исследовательский институт математики и механики им. Н. Г. Чеботарева  
Казанского государственного университета, 420008 Казань  
E-mails: oneberova@yandex.ru, nikolay.ilinskiy@ksu.ru

С использованием численно-аналитического метода, основанного на квазирешении обратных краевых задач аэрогидродинамики и формулах Кармана — Цзяна, решена задача модификации классических крыловых профилей, безотрывно обтекаемых дозвуковым потоком идеального газа в заданном диапазоне углов атаки. Для определения точки отрыва пограничного слоя применялся критерий безотрывности Лойцянского.

**Ключевые слова:** обратная краевая задача аэрогидродинамики, метод квазирешений, безотрывность обтекания, учет сжимаемости.

**Введение.** В настоящее время при решении задач проектирования и модификации крыловых профилей широко применяются методы, состоящие в целенаправленном поиске и коррекции формы профиля путем решения обратной краевой задачи аэрогидродинамики. Суть этой задачи заключается в определении формы крылового профиля по заданному на его контуре распределению скорости либо давления потока жидкости или газа, обеспечивающему необходимые аэродинамические характеристики: максимальный коэффициент подъемной силы, минимальное профильное сопротивление, максимальное аэродинамическое качество, условие безотрывного обтекания и др. Численно-аналитическое решение задачи построения крыловых профилей, безотрывно обтекаемых потоком идеальной несжимаемой жидкости при расчетном угле атаки, получено в работе [1].

В данной работе решена задача модификации классических крыловых профилей, в частности профилей Жуковского и Clark, с целью обеспечения их безотрывного обтекания в заданном диапазоне углов атаки с учетом сжимаемости потока при числе Маха  $M_\infty < 1$ .

**Постановка задачи.** В плоскости  $z = x + iy$  непроницаемый крыловой профиль обтекается под углом атаки  $\alpha$  плоским установившимся потоком идеального газа с заданным числом Маха на бесконечности  $M_\infty$  (рис. 1, *a*). Контур  $L_z$  профиля с периметром  $L$  замкнутый и гладкий всюду, за исключением задней кромки  $B$ , где внутренний по отношению к области течения угол равен  $2\pi$ . Начало выбранной системы координат совпадает с точкой  $B$ , направление оси абсцисс параллельно направлению скорости на бесконечности. Дуговая координата  $s$  контура  $L_z$  отсчитывается от  $s = 0$  в точке  $B$  до  $s = L$  в той же точке, так чтобы при возрастании  $s$  вдоль  $L_z$  область течения оставалась слева. Известен диапазон углов атаки  $[\alpha_1^*, \alpha_2^*]$ , в котором профиль обтекается без отрыва потока. Задано число Рейнольдса на бесконечности  $Re_\infty$ .

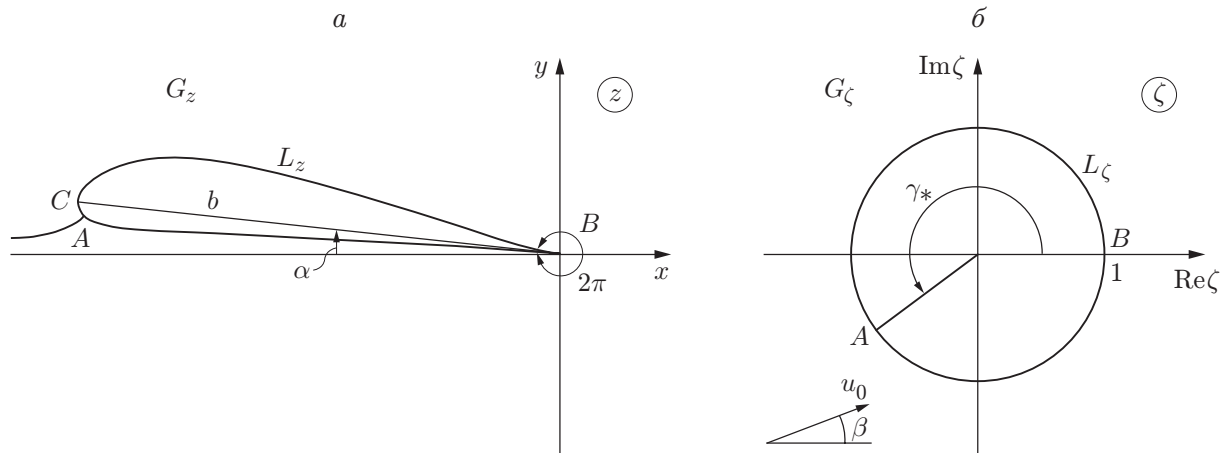


Рис. 1. Схема задачи:

$a$  — заданный крыловый профиль;  $b$  — каноническая область

Требуется модифицировать профиль, обеспечив его безотрывное обтекание в большем диапазоне углов атаки  $[\alpha_1, \alpha_2]$ , где  $\alpha_1 < \alpha_1^*$ ,  $\alpha_2 > \alpha_2^*$ , вычислить аэродинамические характеристики и сравнить их с характеристиками исходного профиля, найти распределение приведенной скорости  $\lambda = \lambda(s)$ ,  $s \in [0, L]$  на контуре модифицированного крылового профиля при углах атаки  $\alpha_1$ ,  $\alpha_2$  и подтвердить безотрывность обтекания этого профиля путем решения прямой задачи с использованием пакета программ “Fluent”.

**Модели и методы.** В работе используется модель чисто турбулентного течения, в которой дуговая абсцисса точки  $st_j$  перехода ламинарного пограничного слоя в турбулентный совпадает с точкой  $s_*$  разветвления потока (индекс  $j = 1$  соответствует верхней поверхности профиля,  $j = 2$  — нижней). Для определения точки  $s_s$  отрыва турбулентного пограничного слоя применялся критерий безотрывности Лойцянского [2] в виде

$$f(s) \geq f_0, \quad f_0 = -2, \quad (1)$$

где  $f(s)$  — формпараметр:

$$f(s) = \frac{a\lambda'(s)}{|\lambda(s)|^b} \left| \int_{st_j}^s |\lambda(\tau)|^{b-1} d\tau \right|,$$

$a = 1,17$ ,  $b = 4,57$  — эмпирические постоянные;  $\lambda_{tj}$  — модуль скорости в точках  $st_j$ .

Формулы Кармана — Цзяна [3] позволяют приближенно пересчитать распределение коэффициента давления на контуре профиля в несжимаемой жидкости для течения газа при любом числе Маха набегающего потока  $M_\infty < 1$  и неизменном угле атаки. Зависимость между скоростями  $V(s)$  и  $\lambda(s)$  на контуре крылового профиля в несжимаемом и сжимаемом потоках выражается формулой

$$V(\lambda) = \begin{cases} V_\infty \left( \frac{1 - (1 - M_\infty^2)^{1/2} c_p}{1 - [1 - (1 - M_\infty^2)^{1/2}] c_p / 2} \right)^{1/2}, & |\lambda| \geq \lambda_\infty, \\ 2\lambda [1 + (1 + 4c^2 \lambda^2)^{1/2}]^{-1}, & |\lambda| < \lambda_\infty, \end{cases} \quad (2)$$

где  $c_p$  — коэффициент давления в газе:

$$c_p = \frac{2}{k M_\infty^2} \left[ \left( \frac{1 - \lambda^2/h^2}{1 - \lambda_\infty^2/h^2} \right)^{k/(k-1)} - 1 \right],$$

$c^2 = 0,296$ ;  $k = 1,41$ ;  $h^2 = (k + 1)/(k - 1)$ .

Результатом пересчета является распределение скорости на искомом профиле в потоке несжимаемой жидкости, движущемся со скоростью  $V_\infty$ . Форму профиля можно определить, решив обратную краевую задачу аэрогидродинамики с использованием модели идеальной несжимаемой жидкости и метода квазирешений для обеспечения выполнения условий разрешимости [4]. Распределение приведенной скорости, измененное при построении квазирешения, можно восстановить по формулам

$$\lambda(V) = \begin{cases} V/(1 - c^2V^2), & V \leq V_\infty, \\ h[1 - (1 - \lambda_\infty^2/h^2)/(kM_\infty^2 c_p/2 + 1)^{(1-k)/k}]^{1/2}, & V \geq V_\infty, \end{cases} \quad (3)$$

где  $c_p = c_p^0 \{(1 - M_\infty^2)^{1/2} + [1 - (1 - M_\infty^2)^{1/2}]c_p^0/2\}^{-1}$ ;  $c_p^0 = 1 - (V/V_\infty)^2$  — коэффициент давления в несжимаемой жидкости.

Построение безотрывного распределения скорости на диффузорном участке основано на задании на нем распределения формпараметра  $f(s)$ . Очевидно, что если функция  $f(s)$  удовлетворяет критерию безотрывности (1), то соответствующая функция  $\lambda(s)$  также удовлетворяет условию безотрывности.

Замена распределения скорости на диффузорном участке на безотрывное выполняется следующим образом. Вводится безразмерная координата  $\sigma = (s - s_*)/(L - s_*)$ ,  $\sigma \in [0, 1]$ . На участке  $[0, \sigma_s]$ , где  $\sigma_s$  — точка отрыва потока, распределение скорости известно:  $\lambda = \lambda(\sigma)$ ,  $\lambda(\sigma_s) = \lambda_{\max}$ . Тогда начиная с точки  $\sigma_s$  на участке  $[\sigma_s, 1]$  распределение скорости может быть построено по формуле [4, § 39]

$$\lambda(\sigma) = \lambda_{\max} \exp \left( a^{-1} \int_{\sigma_s}^{\sigma} g(\tau) [Q(\tau)]^{-1} d\tau \right), \quad (4)$$

где  $Q(\sigma) = \int_{\sigma_s}^{\sigma} [1 - (b-1)g(\tau)/a] d\tau$ ; функция  $g = g(\sigma) = -2$  соответствует заданному закону изменения формпараметра.

Для заданного распределения скорости несжимаемого потока  $V(s)$  на искомом контуре  $L_z$  крылового профиля решается обратная краевая задача аэрогидродинамики с использованием метода квазирешения. Функция, конформно отображающая каноническую область  $G_\zeta$  (внешность круга единичного радиуса (рис. 1, б)) с границей  $L_\zeta$  на внешность искомого профиля, имеет вид

$$z(\zeta) = u_0 \exp(-i\beta) \int_1^\zeta \exp(-\tilde{\chi}(\zeta))(1 - 1/\zeta) d\zeta, \quad (5)$$

где  $u_0 = \Gamma/(4\pi \sin \beta)$  — скорость потока на бесконечности в плоскости  $\zeta$ ;  $\Gamma = \int_0^L V(s) ds$  — циркуляция скорости по контуру профиля;  $\beta$  — теоретический угол атаки, определяемый из уравнения  $\beta + \text{ctg} \beta = \pi\varphi_1/\Gamma - \pi/2$ ;  $\varphi_1 = \int_{s_*}^L V(s) ds$ ;  $\tilde{\chi}(\zeta)$  — аналитическая в области  $G_\zeta$  и непрерывная в замкнутой области  $\bar{G}_\zeta$  функция:

$$\tilde{\chi}(\zeta) = \tilde{S} - i\tilde{\theta} = \chi(\zeta) - \chi_0(\zeta) = -\frac{1}{2\pi} \int_0^{2\pi} \tilde{S}(\tau) \frac{\exp(i\tau) + \zeta}{\exp(i\tau) - \zeta} d\tau,$$

$\chi(\zeta) = \ln(dw/dz) = S - i\theta$  — функция Жуковского — Митчела;  $\chi_0(\zeta) = \ln(1 - \zeta_*/\zeta)$ ;  $\zeta_* = \exp(i\gamma_*)$  — образ передней критической точки  $A$  на границе  $L_\zeta$ ;  $\gamma_*$  — угловая координата. Действительная часть функции  $\tilde{\chi}(\zeta)$  на контуре  $L_\zeta$  известна:

$$\tilde{S}(\gamma) = \operatorname{Re} \tilde{\chi}(\exp(i\gamma)) = \ln |V(s(\gamma))/[2 \sin((\gamma - \gamma_*)/2)]|,$$

ее мнимая часть на  $L_\zeta$  находится по формуле

$$\tilde{\theta}(\gamma) = -\frac{1}{2\pi} \int_0^{2\pi} \tilde{S}(\tau) \operatorname{ctg} \frac{\tau - \gamma}{2} d\tau.$$

Параметрические уравнения искомого контура  $L_z$  крылового профиля получаются путем перехода в формуле (5) к предельным значениям при  $\zeta = \exp(i\gamma)$ ,  $0 \leq \gamma \leq 2\pi$ .

Под условиями разрешимости обратной краевой задачи аэрогидродинамики понимаются условия замкнутости искомого контура  $L_z$  и условие совпадения заданного значения скорости на бесконечности со значением, определяемым в процессе решения.

В результате замены распределения скорости по контуру  $L_z$  крылового профиля на безотрывное по формуле (4) для модифицированного профиля значения скорости на задней кромке  $B$  при подходе к ней по верхней и нижней поверхностям могут оказаться различными, т. е.  $|\lambda(0)| \neq |\lambda(L)|$ . Это приводит к появлению в точке  $B$  особенности, а именно логарифмической спирали. Для устранения этой особенности при решении обратной краевой задачи аэрогидродинамики методом квазирешения к аналитической функции  $\tilde{\chi}(\zeta)$  следует добавить функцию  $\Delta\chi(\zeta) = (im/\pi) \ln(1 - 1/\zeta)$ , где  $m = \operatorname{Re} \tilde{\chi}(0) - \operatorname{Re} \tilde{\chi}(2\pi)$ . Полученное квазирешение

$$\tilde{\chi}_1(\zeta) = \tilde{\chi}(\zeta) - \Delta\chi(\zeta) \quad (6)$$

подставляется в формулу (5), а затем строится контур крылового профиля, для которого не только выполняются условия разрешимости обратной краевой задачи аэрогидродинамики, но и совпадают значения скорости на задней кромке  $B$ :  $|\lambda_1(0)| = |\lambda_1(L)|$  ( $\lambda_1(s)$  — скорость на контуре крылового профиля, полученная в результате квазирешения).

**Итерационный метод решения.** С учетом изложенного выше построение крылового профиля, обтекаемого безотрывно сжимаемым потоком в заданном диапазоне углов атаки, можно свести к следующему итерационному процессу.

Решается прямая краевая задача аэрогидродинамики для исходного крылового профиля в сжимаемом потоке при угле атаки  $\alpha_2$  и находится распределение приведенной скорости  $\lambda = \lambda(s)$ ,  $s \in [0, L]$  на контуре этого профиля. Для распределения приведенной скорости  $\lambda(s)$  при угле атаки  $\alpha_2$  проверяется критерий безотрывности (1). Если критерий не выполняется, то  $\lambda(s)$  изменяется по формуле (4) с учетом условия безотрывности обтекания начиная с точки отрыва потока  $s_s$ . Затем распределение скорости  $\lambda(s)$  пересчитывается для идеальной несжимаемой жидкости по формулам (2), профиль поворачивается на угол атаки  $\alpha_1$  и по формуле (3) находится распределение  $\lambda(s)$  при  $\alpha_1$ . Проверяется выполнение критерия безотрывности (1) для  $\lambda(s)$  при  $\alpha_1$ . Если критерий не выполняется, то распределение  $\lambda(s)$  изменяется по формуле (4) на безотрывное. После этого форма профиля находится путем решения обратной краевой задачи аэрогидродинамики с использованием квазирешения (6). Если в результате распределение  $\lambda(s)$  изменяется таким образом, что возникает отрыв потока, необходимо вернуться к началу итерационного процесса. Если при углах атаки  $\alpha_1, \alpha_2$  отрыва не наблюдается, то модификация окончена, поставленная задача решена.

**Результаты численных расчетов.** В качестве исходного профиля для модификации был выбран крыловой профиль Жуковского, контур которого показан на рис. 2, а

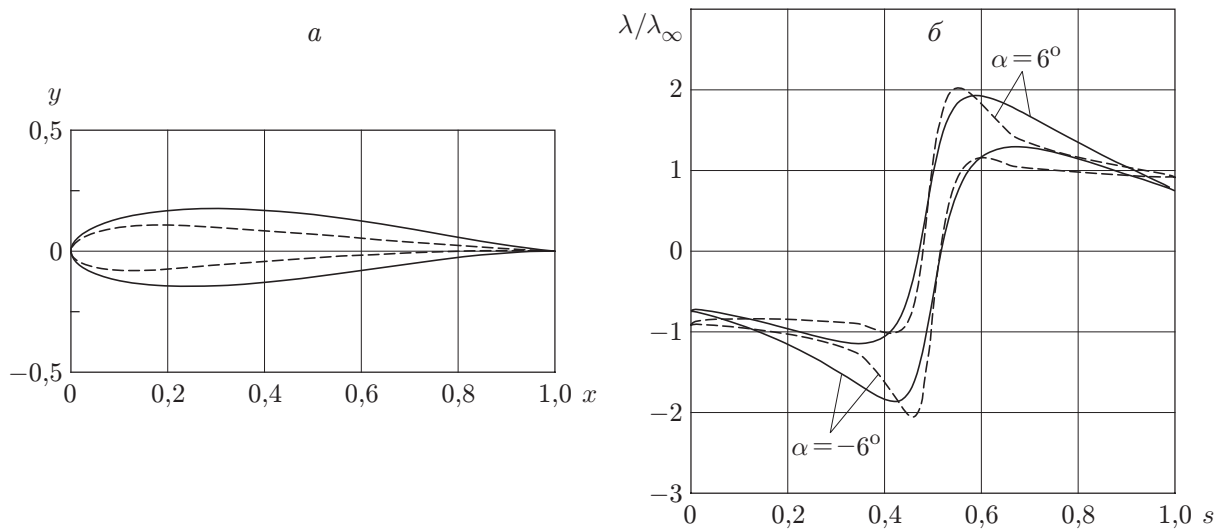


Рис. 2. Модификация профиля Жуковского:

*a* — исходный и модифицированный контуры; *б* — распределение приведенной скорости на контурах; сплошные линии — исходный профиль; штриховые — модифицированный профиль

сплошной линией (здесь и далее координаты контура профиля отнесены к хорде профиля *b*, дуговые абсциссы — к периметру  $L$  контура  $L_z$ , а распределения скорости  $\lambda(s)$  — к скорости  $\lambda_\infty$ ). Профиль обтекается сжимаемым потоком безотрывно лишь в диапазоне углов атаки  $\alpha \in [-2^\circ, 2^\circ]$ .

Результат модификации с использованием описанного итерационного метода в диапазоне углов атаки  $\alpha \in [-6^\circ, 6^\circ]$  показан на рис. 2, *a* штриховой линией. Соответствующие распределения приведенной скорости на контурах исходного и модифицированного профилей представлены на рис. 2, *б*.

Для верификации полученных результатов решалась прямая задача с использованием пакета программ “Fluent”. Расчет прямой задачи проводился с использованием однопараметрической модели турбулентности Спаларта — Аллмараса. Дискретизация области течения осуществлялась с помощью структурированной сетки с прямоугольными ячейками. На бесконечности дискретизация области выполнена в виде С-сетки, вложенной в О-сетку. Сетка имела следующие размеры: 10 хорд профиля вверх по потоку, 25 — вниз по потоку, по 10 хорд вверх и вниз относительно профиля. На контуре профиля задавались условия прилипания. Характеристики потока на бесконечности следующие: число Маха  $M_\infty = 0,5$ , число Рейнольдса  $Re_\infty = 10^7$ , плотность воздуха  $\rho = 1,29 \text{ кг/м}^3$ , давление  $p_\infty = 101\,325 \text{ Па}$ , температура  $T_\infty = 273 \text{ К}$ , динамическая вязкость  $\nu = 1,78 \cdot 10^{-5} \text{ м}^2/\text{с}$ .

Распределения коэффициентов давления для модифицированного профиля при углах атаки  $\alpha = 6^\circ$  и  $\alpha = -6^\circ$  представлены на рис. 3. Картины обтекания исходного и модифицированного контуров профиля Жуковского приведены на рис. 4. Видно, что при углах атаки  $\alpha = 6^\circ$  и  $\alpha = -6^\circ$  исходный профиль (рис. 4, *a, б*) обтекается с отрывом потока, а модифицированный — безотрывно (рис. 4, *в, г*).

В качестве другого примера для модификации был выбран крыловой профиль Clark-05 [5], контур которого показан на рис. 5, *a* сплошной линией. Этот профиль безотрывно обтекается сжимаемым потоком в диапазоне углов атаки  $\alpha \in [-5^\circ, 5^\circ]$ . Результат модификации в диапазоне углов атаки  $\alpha \in [-8^\circ, 8^\circ]$  показан на рис. 5, *a* штриховой линией. Соответствующие распределения приведенной скорости на исходном и модифицированном контурах профиля Clark-05 представлены на рис. 5, *б*. Для верификации полученных результатов также решалась прямая задача с использованием пакета программ “Fluent”.

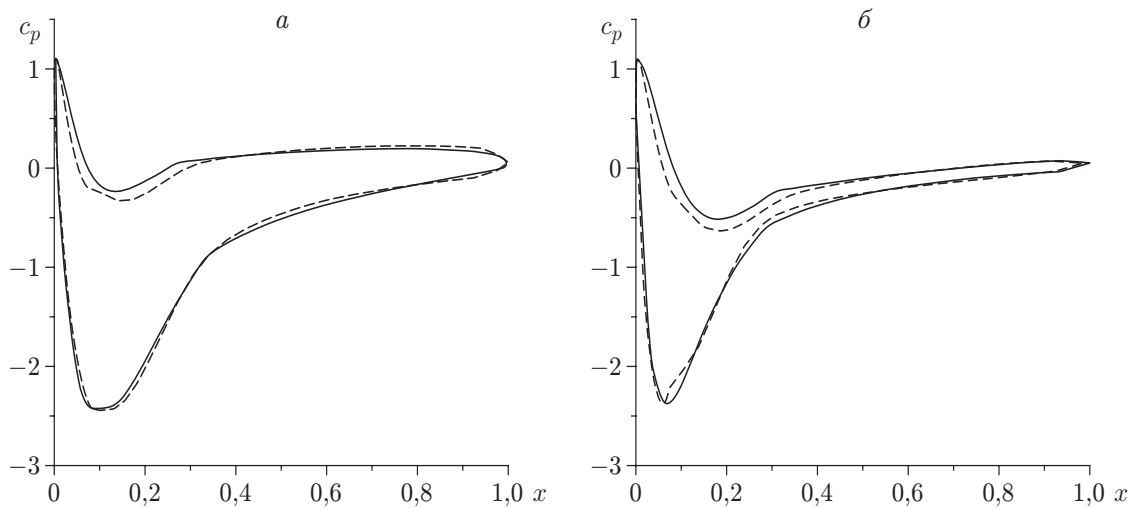


Рис. 3. Распределение коэффициента давления на контуре модифицированного профиля Жуковского, полученное численно (сплошные линии) и с использованием пакета программ “Fluent” (штриховые линии):

$a - \alpha = 6^\circ$ ;  $b - \alpha = -6^\circ$

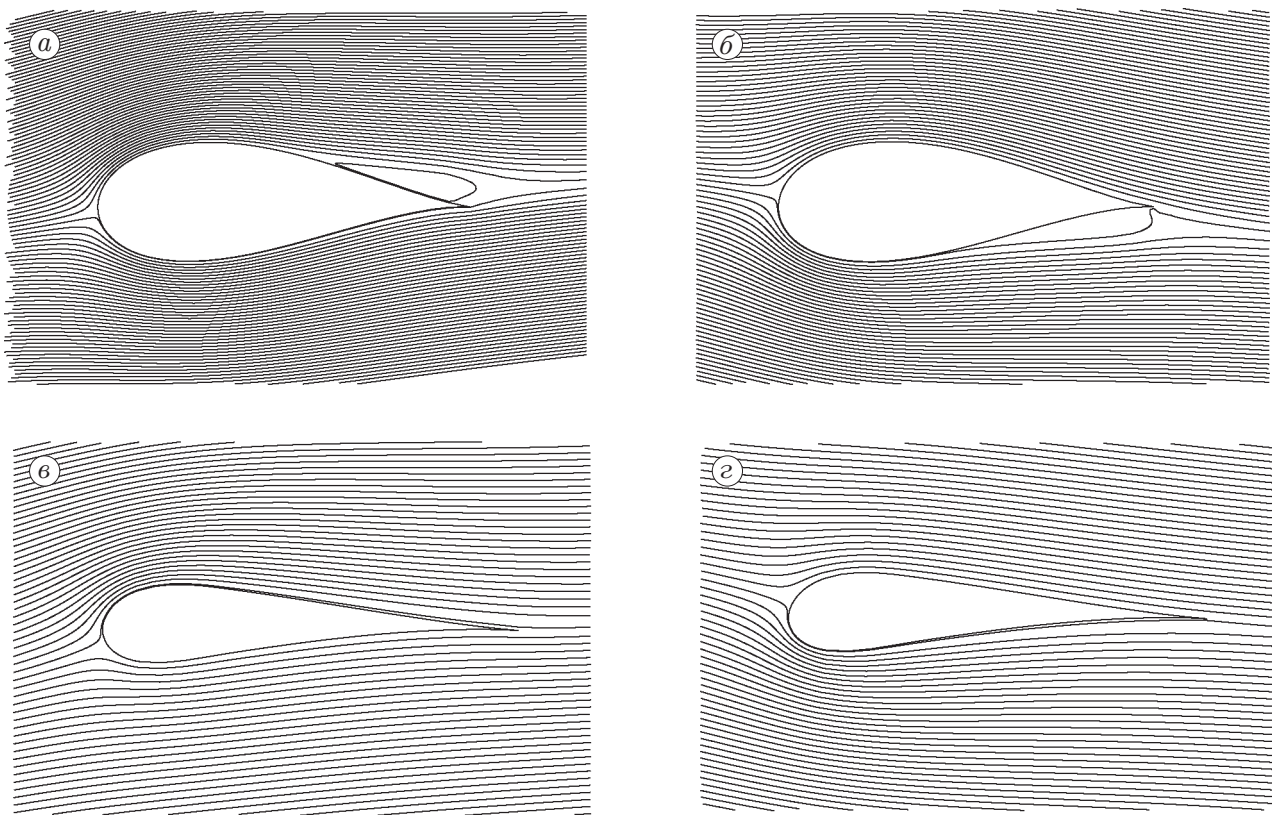


Рис. 4. Картины обтекания исходного ( $a, б$ ) и модифицированного ( $в, г$ ) контуров профиля Жуковского, полученные с использованием пакета программ “Fluent”:

$a, в - \alpha = 6^\circ$ ;  $б, г - \alpha = -6^\circ$

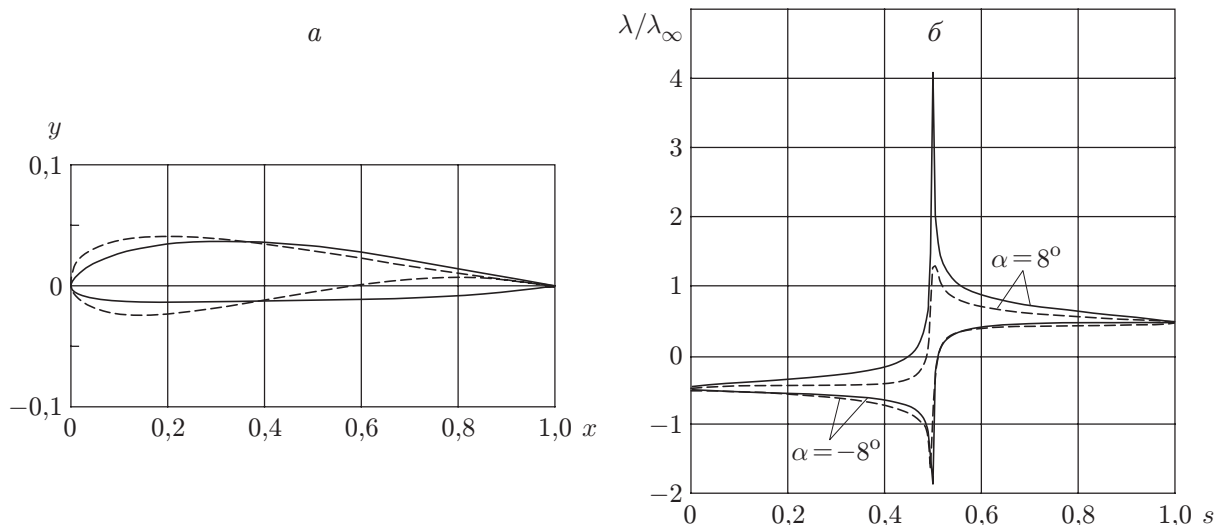


Рис. 5. Модификация профиля Clark-05:  
*a* — исходный и модифицированный контуры; *б* — распределение приведенной скорости на контурах; сплошные линии — исходный профиль; штриховые — модифицированный профиль

Аэродинамические характеристики исходных и модифицированных крыловых профилей

Профиль	$\alpha$ , град	Расчет с использованием пакета "Fluent"				
		Численный расчет	Расчет с использованием пакета "Fluent"			
		$C_y$	$C_y$	$C_x$	$K$	
Жуковского:	исходный	6	0,678	0,556	0,124	4,48
		-6	-0,152	-0,161	0,117	-1,40
	модифицированный	6	0,922	0,896	0,096	9,33
		-6	-0,450	-0,435	0,085	-5,06
Clark-05:	исходный	8	0,845	0,837	0,104	8,04
		-8	-0,658	-0,726	0,083	-8,74
	модифицированный	8	0,987	0,939	0,095	9,88
		-8	-0,702	-0,739	0,078	-9,17

Аэродинамические характеристики исходных и модифицированных профилей приведены в таблице. В результате численных расчетов с использованием описанного итерационного метода показано, что при положительных углах атаки для модифицированных профилей значение коэффициента подъемной силы  $C_y$  больше, чем для исходных профилей, а при отрицательных — меньше. Вычислительный эксперимент, проведенный с использованием пакета программ "Fluent", подтвердил эти выводы. Анализ результатов вычислительного эксперимента показал, что в заданном диапазоне углов атаки для модифицированных крыловых профилей значение коэффициента сопротивления  $C_x$  меньше, чем у исходных, а аэродинамическое качество  $K$  выше.

**Заключение.** Таким образом, предложенный метод позволяет модифицировать как классические крыловые профили, так и любые другие с целью обеспечения их безотрывного обтекания сжимаемым потоком в значительно большем диапазоне углов атаки. Кроме того, из результатов вычислительных экспериментов следует, что модифицированные крыловые профили обладают меньшим сопротивлением, чем исходные, а следовательно, большим аэродинамическим качеством.

## ЛИТЕРАТУРА

1. **Ильинский Н. Б., Неберова О. С.** Об одном подходе к модификации крыловых профилей // Изв. вузов. Авиац. техника. 2006. № 3. С. 30–33.
2. **Лойцянский Л. Г.** Механика жидкости и газа. М.: Наука, 1987.
3. **Karman Th. Y.** Compressibility effects in aerodynamics // J. Aeronaut. Sci. 1941. V. 8, N 7. P. 32–45.
4. **Елизаров А. М.** Обратные краевые задачи аэрогидродинамики: теория и методы проектирования и оптимизации формы крыловых профилей / А. М. Елизаров, Н. Б. Ильинский, А. В. Поташев. М.: Физматлит, 1994.
5. **Ушаков Б. А.** Атлас аэродинамических характеристик профилей крыльев / Б. А. Ушаков, П. П. Красильщиков, А. К. Волков, А. Н. Гржегоржевский. Б. м., 1940.

*Поступила в редакцию 9/VIII 2007 г.,  
в окончательном варианте — 18/X 2007 г.*

---